Vol. 21 No. 2

> 2015 Mar.

制备方法对 MnO_x -TiO₂吸附剂脱汞性能的影响

张志会1,路 好1,张安超1,温小萍1,周长松2,孙路石2

(1. 河南理工大学 机械与动力工程学院,河南 焦作 454003;2. 华中科技大学 煤燃烧国家重点实验室,湖北 武汉 430074)

要:针对燃煤烟气中单质汞不溶于水,难以脱除的问题,采用水热合成法(HT)和沉积-沉淀法 (DP)制备了MnO_x-TiO_x单质汞(Hg⁰)吸附剂,在固定床实验台架上考察2种吸附剂(MnTi-HT 和 MnTi-DP)的脱汞性能;利用 N, 吸附/脱附、透射电子显微镜(TEM)、X 射线衍射(XRD)、H, 程序 升温还原(H,-TPR)和 X 射线光电子能谱(XPS)等技术对吸附剂进行物化表征。结果表明:物理吸 附不是吸附剂脱汞的主要因素。MnTi-DP 对 Hg^0 的吸附剂量为 620 $\mu g/g$,远高于 MnTi-HT 的 236 μg/g,说明制备方法对吸附剂的脱汞性能有较大影响。MnTi-DP 吸附剂中 Mn 含量较高, Mn⁴⁺含量约 为 34%, 远高于 MnTi-HT 的 Mn⁴⁺(22%); MnTi-DP 中化学吸附态氧和晶格氧的强度均高于 MnTi-HT.表明 MnTi-DP 中化学吸附态氧的总体含量高于 MnTi-HT,有利于增强 MnTi-DP 还原特性,提高 脱汞能力。

关键词:锰:脱汞:水热合成法:沉积-沉淀法

中图分类号: X703

文献标志码:A

文章编号:1006-6772(2015)02-0072-05

Effects of preparation method on MnO_x-TiO₂ sorbent for Hg⁰ removal

ZHANG Zhihui¹, LU Hao¹, ZHANG Anchao¹, WEN Xiaoping¹, ZHOU Changsong², SUN Lushi²

(1. School of Mechanical and Power Engineering, Henan Polytechnic University, Jiaozuo 454003, China;

2. State Key Laboratory of Coal Combustion, Huazhong University of Science and Technology, Wuhan 430074, China)

Abstract: Aiming at the difficulty of Hg⁰ removal from flue gas because of its indissolubility in water, the MnO_x-TiO₂ sorbents were prepared by hydrothermal synthesis method (HT) and deposition-precipitation method (DP) and characterized by N_2 adsorption/desorption, TEM, XRD, H₂-TPR and XPS. The Hg⁰ capacities of the two sorbents were investigated in a laboratory-scale fixed-bed reactor. The results showed that the physical characteristic wasn't the main contributor for higher Hg⁰ removal. The Hg⁰ capacity of MnTi-DP was about 620 µg/g which was greatly higher than that of MnTi-HT (236 µg/g). It indicated that the preparation method had a great influence on sorbent performance. The Mn⁴⁺ content in MnTi-DP was 34%, while it was 22% in MnTi-HT. The higher intensity of chemisorbed oxygen and lattice oxygen in MnTi-DP showed that there was more total chemisorbed oxygen in MnTi-DP than that in MnTi-HT. A lot of chemisorbed oxygen enhanced the reduction ability of sorbent which played an important role in Hg⁰ removal.

Key words: manganese; mercury removal; hydrothermal synthesis method; deposition-precipitation method

引 0 言

汞污染是全球性问题,已在世界范围内引起广 泛关注。燃煤电站是人为汞排放的主要来源[1]。 燃煤烟气中的汞主要以单质汞(Hg⁰)、二价汞 (Hg²⁺)和颗粒态汞(Hg^P)3种形式存在。Hg⁰熔点 低、易挥发且难溶于水,与 Hg2+和 HgP 相比更难从 烟气中脱除。如何经济有效地控制燃煤烟气中 Hg⁰

收稿日期:2015-01-27:责任编辑:白娅娜 **DOI**:10.13226/j. issn. 1006-6772. 2015. 02. 016

ZHANG Zhihui , LU Hao , ZHANG Anchao , et al. Effects of preparation method on MnO_x – TiO_2 sorbent for Hg^0 removal [J]. Clean Coal Technology, 2015, 21(2):72-76.

基金项目:国家自然科学基金资助项目(51306046,51376073);河南理工大学青年骨干教师资助项目(YBT2013004)

作者简介:张志会(1989—),男,河南洛阳人,硕士研究生,从事燃煤烟气多种污染物控制技术的研究。E-mail:zhangzhhpu@qq.com。通讯作者: 路 好, E-mail: luhao813@ qq. com

引用格式:张志会,路 好,张安超,等. 制备方法对 MnO_x-TiO₂ 吸附剂脱汞性能的影响[J]. 洁净煤技术,2015,21(2):72-76.

排放是当今汞污染控制领域的难题[2]。近年来,由 于金属氧化物吸附剂/催化剂价格低廉、脱汞性能高 效,已在燃煤烟气脱汞领域得到广泛研究[3]。诸多 过渡金属氧化物中,以锰氧化物(MnO_x)为主的吸附 剂/催化剂对 Hg⁰ 具有较强的吸附能力和氧化活 性^[3-8]。Ji 等^[6]以 CO 为还原剂,发现 MnO,/TiO, 催化剂不仅具有较强的 Hg⁰ 吸附能力,低温选择性 催化还原技术(SCR)下还具有较高的脱硝效率。 Qiao 等^[7] 在 HCl 参与的条件下, 考察了 MnO,/ $Al_{2}O_{3}$ 对 Hg^{0} 的脱除活性,结果表明,150 $^{\circ}$ 时 MnO_/Al,O, 的脱汞效率高达90%。已有研究表 明,吸附剂/催化剂制备方法不同时,其活性差别亦 较大。Reddy Putluru 等^[9]采用浸渍法和沉积-沉淀 法制备了 Mn/TiO₂ 和 Mn-Fe/TiO, 吸附剂, 发现同 等条件下沉积-沉淀法制备的 SCR 催化剂的脱硝活 性优于浸渍法。Gao 等[10]采用浸渍法、共沉淀法和 溶胶-凝胶法制备了 CeO,/TiO, 催化剂,发现溶胶-凝胶法制备的催化剂具有良好的脱硝性能和抗硫活 性。由此可见,吸附剂/催化剂的制备方法对其活性 具有一定影响。锰基吸附剂/催化剂在燃煤烟气脱 汞方面的研究较多,但制备方法对其脱汞性能影响。 的报道还很少见。基于此,笔者以水热合成法和沉 积-沉淀法制备的 MnO_x-TiO_x 吸附剂为研究对象, 考察基本烟气条件下 2 种吸附剂对 Hg⁰ 的吸附性 能,利用 N, 吸附/脱附,透射电子显微镜(TEM), X 射线衍射(XRD)、H,-程序升温还原(H,-TPR)和 X 射线光电子能谱(XPS)等手段对吸附剂进行表征, 以期揭示2种制备方法下吸附剂脱汞活性与结构的 关系。

1 试验部分

1.1 吸附剂制备

采用水热合成法和沉积-沉淀法制备 MnO_x-TiO₂ 吸附剂,其中 Mn/Ti 物质的量比为 1/10。

水热合成法:将25 mL 无水乙醇和25 mL 去离子水加入烧杯中,缓慢加入8 mL 乙酸和42.6 mL 钛酸丁酯并搅拌均匀。磁力搅拌下再加入2.91 mL 硝酸锰溶液(分析纯,质量分数为50%),磁力搅拌2 h后,将所得溶液置于水热反应釜中,于真空烘箱中180℃下反应4 h。用去离子水洗涤至中性,置于110℃烘箱中烘干24 h,最后置于马弗炉中空气氛围下450℃煅烧5 h,研磨、筛分至0.18~0.25 mm,

所得样品记为 MnTi-HT。

沉积-沉淀法:取 10 g 商业 TiO_2 (Degussa P25, 德国)溶于 80 mL 去离子水中并剧烈搅拌成浆状溶液;取 2.91 mL 硝酸锰加入上述溶液中并持续搅拌 1 h; 再加入适量 $NH_3 \cdot H_2O$ (质量分数 15%)和 NH_4HCO_3 (质量分数 15%)混合溶液,直至溶液 pH=10。然后,置于 60 C水浴锅中静置 2 h,洗涤、过滤至中性,置于 110 C烘箱中烘干 24 h,最后置于马弗炉中空气氛围下 450 C煅烧 5 h,研磨、筛分至 0.18 ~0.25 mm,所得样品记为 MnTi-DP。

1.2 试验台架

吸附剂活性评价试验在固定床反应器中完成, 该装置主要由气源、汞渗透管、吸附床、温控炉和汞 在线分析仪组成[11]。由于已有较多文献深入研究 了 SO, 、NO 和 H,O 对脱汞性能的影响^[12-13],本文不 做深入研究。为快速得到制备方法对吸附剂活性的 直观评价,试验在基本烟气成分(N,、O,和CO,)下 完成,其中 O2 和 CO2 体积分数分别为 6% 和 12%, N, 为平衡气。气体总流量为 1.0 L/min, 进口 Hg⁰ 质量浓度约为 75 μg/m³(标准状况下)。吸附剂用 量为50 mg,反应时间为10 h。反应前后Hg⁰质量 浓度采用 SG-921 在线测汞仪(江苏江分电分析仪 器有限公司)进行在线记录。试验采用美国环境保 护署(EPA)推荐的 Ontario Hydro 方法,研究表明, 吸附试验尾气中 Hg2+ 含量很少。Xie 等[14] 采 用 SnCl, 溶液还原脱汞尾气,并利用测汞仪再次检 测发现,从固定床出来的废气中 Hg2+浓度基本可以 忽略。因此,Hg⁰ 浓度的降低为吸附反应所致,且主 要以吸附态氧化汞形式存在。吸附剂对 Hg⁰ 的吸附 量り为

$$Q = \frac{C_{\rm in}}{m} \int_0^{t_1} \left(1 - \frac{C_{\rm out}}{C_{\rm in}} \right) \cdot V \cdot dt$$

式中, C_{in} 、 C_{out} 分别表示反应器进口和出口的 Hg^0 质量浓度, $\mu g/m^3$;m 为吸附剂质量,g; t_1 为吸附反应的时间, \min ;V 为模拟烟气的体积流量, m^3/\min 。

1.3 表征方法

 N_2 吸附/脱附分析在贝士德仪器科技(北京)有限公司的 3H-2000PS2 型比表面及孔径分析仪上完成。XRD 分析在德国布鲁克 D8 Advance 型 X 射线衍射仪上进行,测定条件为 Cu 靶(K_α),所加电压和电流分别为 40~kV 和 40~mA,扫描步幅为 0.02° 。TEM 测试在美国 FEI 公司的 Tecnai G20 型透射电

子显微镜上完成,加速电压为 200 kV。H₂ 程序升温还原(H₂-TPR)试验在美国 Micromeritics 公司 Auto-Chem II 2920 型程序升温仪上完成,试验前样品在Ar 氛围下 200 ℃预处理 2 h,样品用量约为 100 mg,还原组分为 15% H₂ 与 85% Ar,气流量为 30 mL/min,升温速率为 10 ℃/min,热导检测器(TCD)检测耗氢量,升温区间为 50 ~800 ℃。XPS 分析在美国 Thermo Fisher Scientific 公司的 ESCALAB 250XI 型 X 射线光电子能谱仪上进行,X 射线激发源为 Al K α (Al 激光发射源的能量 hv = 1486.6 eV),能量分析器固定透过能为 30 eV,以 C 1s 结合能 284.6 eV 为内标。

2 结果与讨论

2.1 Hg⁰ 吸附量

在基本烟气成分下,MnTi-DP 对 Hg^0 的吸附量为 620 $\mu g/g$,远高于 MnTi-HT 的 236 $\mu g/g$,表明制备方法对吸附剂的脱汞性能有较大影响。2 种制备方法中,沉积-沉淀法制备的吸附剂具有良好的脱汞活性。Granite 等[3] 指出金属氧化物对 Hg^0 的脱除遵循 Mars-Maessen 机理,反应式如下

$$\begin{aligned} & \text{Hg}^{0}(\text{ g}) \longrightarrow \text{Hg}^{0}(\text{ ads}) \\ & \text{Hg}^{0}(\text{ ads}) + \text{MnO}_{x} \longrightarrow \text{Hg} \longrightarrow \text{MnO}_{x-1} \\ & \text{Hg} \longrightarrow \text{HgO}(\text{ ads}) + \text{MnO}_{x-1} \\ & \text{MnO}_{x-1} + 1/2O_{2} \longrightarrow \text{MnO}_{x} \end{aligned}$$

即 Hg^0 先吸附在金属氧化物表面,后与吸附剂中的晶格氧或化学吸附态氧相结合生成氧化汞,消耗的晶格氧或化学吸附态氧可被气相中的 O_2 补充,从而使金属氧化物吸附剂具备良好的脱汞效果。

2.2 吸附剂表征

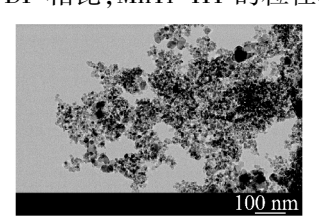
2.2.1 N₂ 吸附/脱附与 TEM 分析

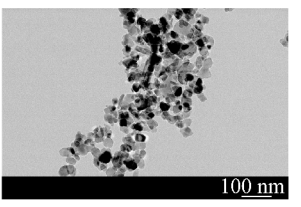
 TiO_2 和 2 种制备方法下 MnO_x – TiO_2 的孔结构 参数见表 1。

表 1 TiO₂ 和不同制备方法下吸附剂的孔结构参数

吸附剂	比表面积/ (m ² ·g ⁻¹)	总孔容/ (cm³·g ⁻¹)	平均孔 径/nm
TiO ₂	49. 63	0. 260	20. 56
MnTi-HT	128. 87	0. 224	6. 98
MnTi-DP	48. 76	0. 214	17. 67

由表 1 可知, TiO_2 的比表面积、总孔容和平均 孔径分别为 49. 63 m^2/g 、0. 260 cm^3/g 和 20. 56 nm。 与 TiO₂ 相比, MnTi-DP 的孔结构参数均有所降低, 但降低幅度不大。MnTi-HT 吸附剂的比表面积大幅提高, 其比表面积增加约 2.6 倍。通常情况下, 比表面积越大, 吸附剂对 Hg⁰ 等吸附质的物理吸附能力越强。然而, MnTi-HT 的脱汞能力远低于 MnTi-DP, 说明对于 MnO_x-TiO₂ 吸附剂, 物理吸附并不是其有效脱汞的主要因素^[15]。2 种制备方法下吸附剂的 TEM 分析如图 1 所示。由图 1 可知, 与 MnTi-DP 相比, MnTi-HT 的粒径较小, 且分散性较差。





a) MnTi-HT

b) MnTi-DE

图 1 2 种制备方法下吸附剂的 TEM 分析

2.2.2 XRD 与 H₂-TPR 分析

2 种吸附剂的 XRD 分析如图 2 所示。

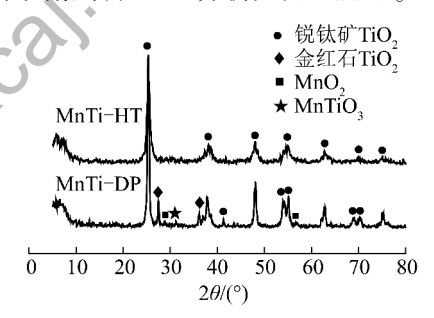


图 2 2 种制备方法下吸附剂的 XRD 分析

由图 2 可看出,MnTi-HT 中 TiO₂ 以锐钛矿为主,MnTi-DP 以锐钛矿和金红石混合形式存在,且以锐钛矿为主。与 MnTi-HT 相比,MnTi-DP 吸附剂在 2θ = 28.7°和 56.7°(JCPDS 24-0735)处出现了 MnO₂ 的特征衍射峰^[16],表明 MnTi-DP 吸附剂中 Mn 主要以 MnO₂ 形态存在。研究表明,MnO₂ 对Hg⁰ 具有较强的催化氧化作用^[6-7,14]。另外,尽管吸附剂中 Mn/Ti 物质的量比高达 10%,但 MnTi-HT 吸附剂中并未发现明显的 MnO_x 特征衍射峰,可能是 MnO_x 在 TiO₂ 表面高度分散,也可能是吸附剂制备时的水洗过程导致部分锰氧化物流失。由此可见,制备方法的不同导致吸附剂表面活性成分和含量不同,进而影响吸附剂的活性。

采用 H_2 -TPR 研究了 2 种吸附剂的还原特性, 结果如图 3 所示。

由图3可以看出, MnTi-HT出现了3个微弱

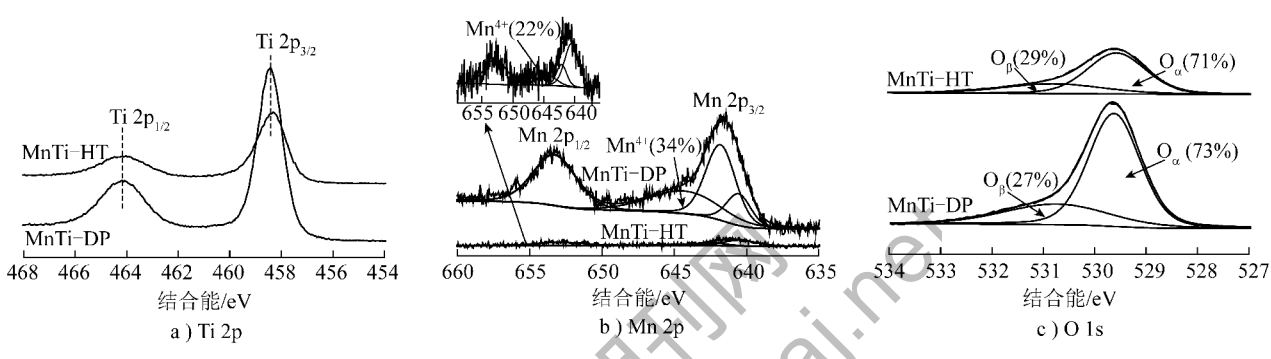
800

600

的还原峰,分别对应 $MnO_2 \rightarrow Mn_2O_3 \rightarrow Mn_3O_4 \rightarrow MnO$ 的还原[17-18]。MnTi-DP 出现的 2 个较强还原峰,分别对应 $MnO_2 \rightarrow Mn_2O_3 \rightarrow MnO$ 的还原。对比发现,MnTi-DP 吸 附 剂 的 还 原 峰 大 幅 前 移,且 MnTi-DP 的耗氢量远大于 MnTi-HT,表明 MnTi-DP 吸附剂中含有较多的氧化物质。已有研究表明,还原特征的增强有利于吸附剂的脱汞活性[15]。

2.2.3 XPS 分析

为进一步了解吸附剂表面各原子的存在形态及



MnTi-HT

MnTi-DP

结果如图 4 所示。

200

图 4 2 种制备方法下吸附剂中 Ti、Mn 和 O 的 XPS 分析

由图 4a 可知, MnTi-HT 和 MnTi-DP 分别在 464.4 和 458.7 eV 处存在 Ti 2p_{1/2} 和 Ti 2p_{3/2} 的特 征峰,表明2种吸附剂中的钛均以Ti⁴形式存在。 由图4b可知,吸附剂 MnTi-DP 和 MnTi-HT 的 Mn 2p_{1/2} 峰出现在约 653.0 eV 处, Mn 2p_{3/2} 峰出现在约 641.8 eV 处, 表明吸附剂中的 Mn 以 Mn2+、Mn3+ 和 Mn⁴⁺的混合价态存在^[14]。同时 MnTi-DP 吸附剂 中 Mn 的峰强度远强于 MnTi-HT,说明 MnTi-DP 吸 附剂中 Mn 含量较高,且 MnTi-DP 吸附剂中 Mn⁴⁺含 量约为 34%, 远高于 MnTi-HT 中的 Mn⁴⁺(22%)。 由图 4c 可知,2 种吸附剂中的 O 均以 2 种形式存 在,位于531.0 eV 处的特征峰归属于化学吸附态氧 (O_8) ,529.6 eV 处的特征峰为金属氧化物中的晶格 氧(O_a)。可以看出,虽然 MnTi-DP 中化学吸附态 氧的含量(27%)略低于 MnTi-HT(29%),但 MnTi-DP 中化学吸附态氧和晶格氧的强度均高于 MnTi-HT,表明 MnTi-DP 中化学吸附态氧的总体含量高 于 MnTi-HT. 这可能是 MnTi-DP 吸附剂具有较高 脱汞效率的原因之一[6-8]。

3 结 论

1) 与沉积 - 沉淀法相比, 水热合成法制备的 MnTi-HT 吸附剂具有较大的比表面积和较小的

平均孔径,但脱汞效果较差。MnTi-DP 对 Hg^0 的吸附剂量为 $620~\mu g/g$,远高于 MnTi-HT 的 $236~\mu g/g$,表明物理吸附不是 MnO_x-TiO_2 吸附剂脱汞的主要因素。

400

温度/℃

图 3 2 种制备方法下吸附剂的 H₂-TPR

表面含量,采用 XPS 方法对 2 种吸附剂进行表征,

2) MnTi-DP 吸附剂中 Mn 和 O 的峰强度远强于 MnTi-HT,说明 MnTi-DP 吸附剂中 Mn 和 O 的含量较高,且 MnTi-DP 吸附剂中 Mn⁴⁺含量约为 34%,远高于 MnTi-HT 中的 Mn⁴⁺。与水热合成法相比,沉积-沉淀法制备的吸附剂不但可以提高表面Mn、Mn⁴⁺含量和化学态吸附氧含量,还可以增强其还原特性,使 MnTi-DP 具备良好的脱汞性能,表明制备方法对吸附剂的脱汞活性有较大影响。

参考文献:

- [1] Uddin M A, Yamada T, Ochiai R. Role of SO₂ for elemental mercury removal from coal combustion flue gas by activated carbon [J]. Energy and Fuels, 2008, 22(1):2284-2289.
- [2] 史亚微,白中华,姜军清,等.中国烟气脱汞技术研究现状及发展趋势[J].洁净煤技术,2014,20(2):104-108.
- [3] Granite E J, Pennline H W, Hargis R A. Novel sorbents for mercury removal from flue gas [J]. Industrial and Engineering Chemistry Research, 2000, 39 (4):1020-1029.
- [4] Yang S, Guo Y, Yan N, et al. Remarkable effect of the incorporation of titanium on the catalytic activity and SO₂ poisoning resistance of magnetic Mn-Fe spinel for elemental mercury capture [J].

Applied Catalysis B: Environmental, 2011, 101 (3/4):698-708.

- [5] He J, Reddy G K, Thiel S W, et al. Ceria-modified manganese oxide/titania materials for removal of elemental and oxidized mercury from flue gas [J]. The Journal of Physical Chemistry, 2011, 115 (49):24300-24309.
- [6] Ji L, Sreekanth P M, Smirniotis P G, et al. Manganese oxide/titania materials for removal of NO_x and elemental mercury from flue gas [J]. Energy and Fuels, 2008, 22 (4):2299–2306.
- [7] Qiao S, Chen J, Li J, et al. Adsorption and catalytic oxidation of gaseous elemental mercury in flue gas over MnO_x/alumina[J]. Industrial and Engineering Chemistry Research, 2009, 48(7):3317– 3322.
- [8] Li J, Yan N, Qu Z, et al. Catalytic oxidation of elemental mercury over the modified catalyst Mn/α-Al₂O₃ at lower temperatures [J]. Environmental and Science Technology, 2010, 44(1):426-431.
- [9] Reddy Putluru S S, Schill L, Jensen A D, et al. Mn/TiO₂ and Mn–Fe/TiO₂ catalysts synthesized by deposition precipitation—promising for selective catalytic reduction of NO with NH₃ at low temperatures [J]. Applied Catalysis B; Environmental, 2015, 165:628–635.
- [10] Gao X, Jiang Y, Fu Y, et al. Preparation and characterization of CeO₂/TiO₂ catalysts for selective catalytic reduction of NO with NH₃[J]. Catalysis Communications, 2010, 11(5):465-469.
- [11] 张安超,向 军,孙路石,等. 改性壳聚糖吸附剂表征及脱除 Hg⁰ 的实验研究[J]. 工程热物理学报,2010,31(9):1607-

1610

- [12] 吴 鹏,苗文华,姜军清,等. 煤基吸附剂脱除燃煤电厂烟气中汞的研究进展[J]. 洁净煤技术,2012,18(6):102-105.
- [13] Li H, Wu C-Y, Li Y, et al. Role of flue gas components in mercury oxidation over TiO₂ supported MnO_x-CeO₂ mixed-oxide at low temperature [J]. Journal of Hazardous Materials, 2012, 243:117-123
- [14] Xie J, Qu Z, Yan N, et al. Novel regenerable sorbent based on Zr-Mn binary metal oxides for flue gas mercury retention and recovery[J]. Journal of Hazardous Materials, 2013, 261:206-213.
- [15] Wan Q, Duan L, He K, et al. Removal of gaseous elemental mercury over a CeO₂-WO₃/TiO₂ nanocomposite in simulated coalfired flue gas [J]. Chemical Engineering Journal, 2011, 170 (2/ 3):512-517.
- [16] Rezaei E, Soltan J. Low temperature oxidation of toluene by ozone over MnO_x/γ - Alumina and MnO_x/MCM - 41 catalysts [J]. Chemical Engineering Journal, 2012, 198/199;482-490.
- [17] Khan A, Smirniotis P G. Relationship between temperature-programmed reduction profile and activity of modified ferrite-based catalysts for WGS reaction [J]. Journal of Molecular Catalysis A; Chemical, 2008, 280 (1/2); 43-51.
- [18] Liu F, He H, Ding Y, et al. Effect of manganese substitution on the structure and activity of iron titanate catalyst for the selective catalytic reduction of NO with NH₃[J]. Applied Catalysis B: Environmental, 2009, 93 (1/2):194-204.

(上接第71页)

是充分利用低温煤粉浓相燃烧为脱硫创造的有利条件,实现了煤粉燃烧与烟气净化的自闭合,达到了提高脱硫效率、降低脱硫成本的目的。

- 2) 与湿式钠钙双碱法脱硫相比,NGD 脱硫除尘 一体化技术在耗水、占地、系统集成、工艺可操作性 及运行成本等方面均具有明显优势。因此,该技术 更适合高效煤粉工业锅炉。
- 3)在高效煤粉工业锅炉系统上进行脱硫工业示范。结果证实,在理想工况下,脱硫反应器出口SO₂排放质量浓度<100 mg/m³,脱硫效率>95%,装置达到了预期脱硫效果。

参考文献:

- [1] 王善武,吴晓云,张 浩,等.中国工业锅炉行业年鉴(2009—2011)[R].上海:工业锅炉分会秘书处,2011:1-3.
- [2] 吴立新,陈贵锋,余 洁,等.工业锅炉高效燃烧与污染控制技术的跟踪研究[R].北京:煤炭科学研究总院北京煤化工研究分院,2010:10-12.
- [3] GB 13271-2014,锅炉大气污染物排放标准[S].
- [4] 马培根,房靖华,雷小云.关于煤粉工业锅炉的技术分析与政

策思考[J]. 环境与可持续发展,2011(5):55-56.

- [5] 赵钦新,王善武. 我国工业锅炉未来发展分析[J]. 工业锅炉, 2007(1):1-9.
- [6] 何海军,纪任山,王乃继.高效煤粉工业锅炉的研发与应用 [J].煤炭科学技术,2009,37(11):1-4.
- [7] 梁 兴. 高效煤粉工业锅炉与水煤浆工业锅炉的对比分析 [J]. 洁净煤技术,2012,18(5):88-91.
- [8] 范 玮. 煤粉工业锅炉产业发展现状及投资分析[J]. 洁净煤技术,2012,18(4):4-7.
- [9] 冯现河,尚庆雨,王乃继,等.新型大容量高效煤粉蒸汽锅炉 [J].工业锅炉,2013(2):8-14.
- [10] 罗 伟,何海军,纪任山,等. 高倍率灰钙循环耦合脱硫除尘技术研究[J]. 煤化工,2012(5):73-75.
- [11] 李 婷,肖翠微,张 鑫,等. 粉煤灰在燃煤锅炉烟气脱硫中的应用[J]. 洁净煤技术,2013,19(5):82-84.
- [12] 周屈兰,刘尧祥,惠世恩.高钙粉煤灰直接应用于烟气脱硫的试验研究[J].动力工程,2007,27(1);117-121.
- [13] 钱 玲, 侯浩波. 简述粉煤灰在烟气脱硫方面的应用[J]. 粉 煤灰综合利用, 2005(2):46-47.
- [14] 卢 芬,刘书敏,郑原超,等. 钠-钙双碱法烟气脱硫工艺[J]. 广东化工,2010,37(3):159-160.
- [15] 高晓燕,张惠娟,韩玉霞. 湿法烟气脱硫技术及其应用[J]. 能源研究与应用,2008(3):43-45.